

О НАБЛЮДЕНИИ НОВОЙ МОДИФИКАЦИИ Ag В СИСТЕМЕ InSb(110) + Ag

В.Ю.Аристов, И.Л.Болотин, В.А.Гражулис

Сообщается о наблюдении методом дифракции медленных электронов новой кристаллической модификации серебра, возникающей при напылении в сверхвысоком вакууме ультратонких пленок Ag на поверхность InSb (110)-1 × 1 при 10 К.

Результатов низкотемпературных исследований для систем металлы – полупроводник опубликовано крайне мало, см. ¹. В ¹, по-существу, впервые были проведены исследования

такого типа на примере $\text{Si}(111)-2 \times 1 + \text{Ag}$. В настоящей статье представлены результаты исследований методом ДМЭ начальных стадий формирования ультратонких пленок Ag на поверхности склона InSb(110) при температуре подложки $T_{\text{п}} \approx 10$ К в условиях сверхвысокого вакуума ($\sim 10^{-10}$ торр). Средняя толщина пленок Ag, также как и в ¹, варьировалась в интервале $\theta = 0 \div 20$ монослоев; один монослой ($\theta = 1$) соответствует числу атомов подложки InSb(110) на единице площади, т.е. $6,74 \cdot 10^{14} \text{ см}^{-2}$.

Кратко рассмотрим поведение картины ДМЭ в процессе напыления Ag при $T_{\text{п}} = 10$ К. (Заметим, что энергия первичного пучка электронов в наших экспериментах варьировалась в интервале $20 \div 100$ эВ, другие детали эксперимента описаны в ¹).

При $0 \leq \theta \lesssim 0,1$ наблюдается четкая картина ДМЭ от поверхности подложки InSb(110). При $0,1 \lesssim \theta \lesssim 1$ происходит увеличение фона на картине ДМЭ с ростом θ и одновременно уменьшение интенсивности рефлексов InSb(110). При $\theta \sim 1 \div 1,5$ уже виден лишь один фон, рефлексы InSb(110) исчезают полностью, никаких новых рефлексов не возникает. Здесь полезно сделать замечание.

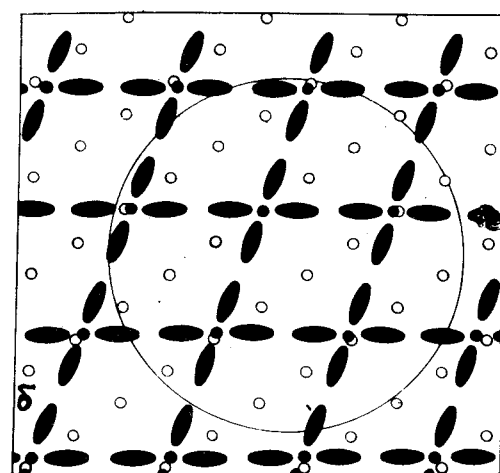


Рис. 1. *a* – Дифракционная картина от $\text{InSb}(110) + \text{Ag}$ ($\theta \approx 5$), $E_p = 67$ эВ; *б* – схема, поясняющая представленную дифракционную картину: \circ – места расположения рефлексов подложки InSb до напыления серебра; \bullet – основные рефлексы, соответствующие ОЦК (110) структуре Ag, \blacktriangleleft – сателлиты основных рефлексов серебра

Есть основание предполагать, что атомы Ag, адсорбированные при 10 К, распределяются по поверхности подложки случайно ¹, образуя сильно разупорядоченную двумерную систему с малой длиной ближнего порядка $\xi_{\text{Ag}} \sim a_{\text{Ag}}$, где a_{Ag} – постоянная решетки массивного Ag. По этой причине не видны никакие рефлексы ДМЭ от Ag, см. выше. Исчезновение рефлексов подложки InSb(110) при $\theta \sim 1 \div 1,5$ не может быть объяснено эффектом "экранировки" пленкой Ag поверхности InSb(110). Эффект экранировки должен возникать при значениях $\theta \gtrsim 3$ ¹. Следовательно, исчезновение рефлексов InSb(110) при $\theta \sim 1 \div 1,5$ необходимо трактовать как результат существенного нарушения трансляционной симметрии нескольких атомных слоев у поверхности InSb(110), возникающего в результате сильного химического взаимодействия разупорядоченной системы атомов Ag с подложкой сразу же после адсорбции при 10 К, в противоположность системе $\text{Si}(111) + \text{Ag}$ ¹.

Теперь рассмотрим поведение InSb(110) + Ag при дальнейшем росте θ .

При $1 \leq \theta \leq 4$ поверхность InSb(110) + Ag продолжает оставаться сильно разупорядоченной (аморфной), не дающей никаких рефлексов ДМЭ. Однако, при $\theta = \theta^* = 4 \div 4,5$ наблюда-

ется интересное явление, а именно, переход системы в упорядоченное состояние; при этом в картине ДМЭ возникают новые рефлексы, см. рис. 1, а, не повторяющие ранее исчезнувшие рефлексы подложки InSb(110). Таким образом мы, по-видимому, имеем дело с фазовым переходом типа аморфное \rightarrow кристаллическое состояние при постоянной температуре ($T \approx 10$ К). Критическим параметром является толщина пленки Ag.

Итак, существует критическое значение $\theta = \theta^* = 4 - 4,5$, при котором возникает указанный переход. С ростом θ заметно растет интенсивность возникших рефлексов ДМЭ вплоть до $\theta \sim 5$; при дальнейшем увеличении θ до $\theta \sim 20$ (случаи $\theta > 20$ в настоящей работе не изучались) интенсивность рефлексов остается примерно постоянной. Таким образом, переход "размыт" по θ в интервале θ от ~ 4 до ~ 5 . Это, по-видимому, связано с большими флуктуациями в толщине пленки, возникающим при низкой температуре подложки ¹.

Если по основным рефлексам картины ДМЭ, показанной на рис. 1, а построить решетку узлов в прямом пространстве, и в каждом узле расположить атом Ag, то получится картина, показанная на рис. 2, а. Полезно рис. 2, а сравнить с рис. 2, б. Легко заметить, что расположение атомов Ag на рис. 2, а практически повторяет пространственное расположение атомов первого и второго слоев InSb(110), если бы они были совмещены в одной плоскости. Это позволяет предположить, что после упорядочения атомы Ag в первом монослое располагаются в "пустотах" над атомами второго слоя InSb. Оказывается, что межатомное расстояние (d) в представленной на рис. 2, а решетке Ag в пределах ошибки эксперимента ($\sim 2\%$) соответствует межатомному расстоянию в массивном серебре, обладающем ГЦК структурой с постоянной решетки $a_{\text{ГЦК}} \cong 4,1 \text{ \AA}$ и $d \cong 2,9 \text{ \AA}$. Однако, нетрудно заметить, что расположение атомов Ag на рис. 2, а на самом деле не соответствует никакой плоскости ГЦК решетки Ag, но совпадает с плоскостью (110) гипотетической ОЦК решетки.

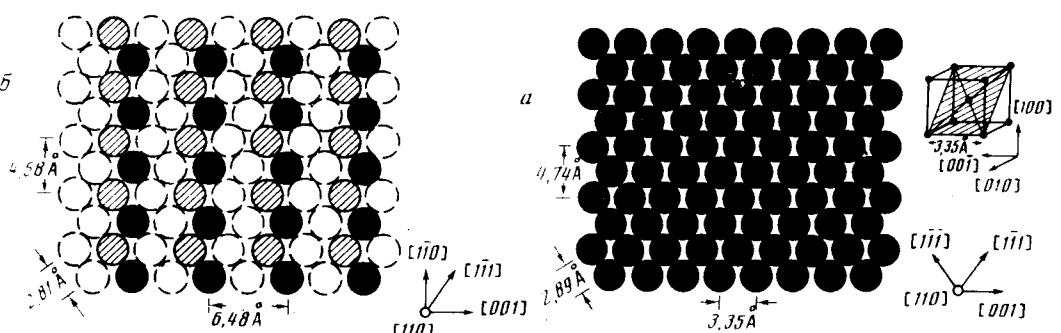


Рис. 2. а – Схема возможного двумерного расположения атомов Ag, соответствующего дифракционной картине от основных рефлексов на рис. 1. Справа показана решетка ОЦК с параметром $\sim 3,4 \text{ \AA}$, имеющая такое же расположение атомов в плоскости (110); б – схема расположения атомов In и Sb на сколотой поверхности InSb(110). Пунктиром показаны атомы второго слоя; ● – атомы In; ⊗ – атомы Sb

Таким образом, мы приходим к основному результату настоящей работы: при $\theta > \theta^*$ и $T_p = 10$ К в итоге структурного перехода на поверхности InSb(110) возникает ОЦК модификация Ag с $a_{\text{ОЦК}} \cong 3,4 \text{ \AA}$.

Результаты дополнительных исследований, полученных нами "необычных" пленок серебра во всем интервале 10 – 300 К будут опубликованы позднее.

Авторы выражают благодарность В.Л.Покровскому за полезные обсуждения.

Литература

Аристов В.Ю., Болотин И.Л., Гражулис В.А., Жилин В.М. ЖЭТФ, 1986, 91, 1411.

Институт физики твердого тела
Академии наук СССР

Поступила в редакцию
18 ноября 1986 г.